

# Aplicação do Método de Euler para Resolver o Comportamento de Aquíferos Analíticos\*

Tiago C. A. Amorim<sup>2</sup>

<sup>a</sup>Petrobras, Av. Henrique Valadares, 28, Rio de Janeiro, 20231-030, RJ, Brasil

## Abstract

Fetkovich desenvolveu sua proposta de modelagem de aquífero analítico a partir de uma equação diferencial ordinária. Uma simplificação proposta leva o problema para uma EDO de 1º grau que é resolvida analiticamente. Para aplicação no caso mais geral, Fetkovich propôs um método iterativo. Este trabalho se propôs a não realizar a simplificação proposta por Fetkovich e resolver a EDO com o método de Euler. Os testes realizados mostraram que o limitante dos erros do método de Euler é *significativamente* maior que o erro real da aproximação. A aplicação do método de Aitken com 3 diferentes aproximações com o método de Euler gerou bons resultados. Na aplicação do problema proposto o método de Fetkovich se mostrou mais estável e com resultados melhores que o método de Euler associado ao método de Aitken.

**Keywords:** Método de Fetkovich, Método de Euler, Fluxo em Meio Poroso

## 1. Introdução

O método proposto por Fetkovich para descrever o influxo de um aquífero conectado a um reservatório parte de um modelo de aquífero simples e se desenvolve em uma equação diferencial ordinária (EDO). No método de Fetkovich é feita uma suposição forte, de que a pressão na interface entre o aquífero e o reservatório é constante, o que reduz o problema a uma EDO de 1º grau. Para aplicação no caso mais geral é proposto um processo iterativo.

Este trabalho se propõe a não realizar a simplificação feita por Fetkovich e tentar resolver o mesmo problema utilizando o método de Euler para resolver a EDO.

## 2. Metodologia

### 2.1. Método de Fetkovich

Um dos modelos de aquífero analítico mais difundidos é o de Fetkovich [1] [2] [3]. O método de Fetkovich se baseia em um modelo transiente, e em muitos casos se aproxima das respostas do mais sofisticado método de van Everdingen-Hurst [4]. A vantagem do método de Fetkovich é a simplicidade de sua aplicação, pois não depende de técnicas de superposição.

O modelo de Fetkovich assume que a contribuição de um aquífero pode ser adequadamente modelada por um

índice de produtividade, ou seja, que o influxo de água do aquífero para o reservatório é diretamente proporcional à diferença entre a pressão média do aquífero e a pressão na fronteira entre o reservatório e o aquífero [5]. O método negligencia quaisquer efeitos transientes no aquífero. O efeito desta premissa será maior em casos onde existe uma *rápida* variação na pressão na interface entre o reservatório e o aquífero, fazendo com que os resultados do método de Fetkovich se desviem dos resultados mais rigorosos do método de van Everdingen-Hurst [6]. Para problemas em que a variação desta pressão é mais gradual, o método de Fetkovich apresenta bons resultados.

O método primeiramente assume um índice de produtividade constante para o aquífero:

$$Q_w = \frac{dW_e}{dt} = J(p_{aq} - p_{res}) \quad (2.1)$$

A equação de balanço de massa assume que a compressibilidade do aquífero é constante, e que a depleção é proporcional à redução do volume de água:

$$W_e = c_{aq} W_{i,aq} (p_{i,aq} - p_{aq}) \quad (2.2)$$

A partir de 2.2 é possível encontrar uma equação para a pressão média do aquífero:

$$\begin{aligned} p_{aq} &= p_{i,aq} \left( 1 - \frac{W_e}{c_{aq} W_{i,aq} p_{i,aq}} \right) \\ &= p_{i,aq} \left( 1 - \frac{W_e}{W_{e,max}} \right) \end{aligned} \quad (2.3)$$

Diferenciando 2.3 no tempo:

\*Relatório número 5 como parte dos requisitos da disciplina IM253: Métodos Numéricos para Fenômenos de Transporte.

\*\*Atualmente cursando doutorado no Departamento de Engenharia de Petróleo da Faculdade de Engenharia Mecânica da UNICAMP (Campinas/SP, Brasil).

Email address: t100675@dac.unicamp.br (Tiago C. A. Amorim)

$$\frac{dp_{aq}}{dt} = -\frac{p_{i,aq}}{W_{e,max}} \frac{dW_e}{dt} \quad (2.4)$$

Isolando  $p_{aq}$  em 2.1 e diferenciando no tempo:

$$\frac{dp_{aq}}{dt} = \frac{1}{J} \frac{d^2 W_e}{dt^2} + \frac{dp_{res}}{dt} \quad (2.5)$$

Igualando 2.4 e 2.5:

$$\frac{d^2 W_e}{dt^2} = -\frac{J p_{i,aq}}{W_{e,max}} \frac{dW_e}{dt} - J \frac{dp_{res}}{dt} \quad (2.6)$$

Assumindo uma pressão constante na interface entre o aquífero e o reservatório ( $\frac{dp_{res}}{dt} = 0$ ) e lembrando que  $p_{aq}(t=0) = p_{i,aq}$ , é possível resolver a EDO 2.6:

$$\frac{dW_e}{dt} = J(p_{i,aq} - p_{res}) e^{-\frac{J p_{i,aq}}{W_{e,max}} t} \quad (2.7)$$

Integrando 2.7 no tempo com  $W_e(t=0) = 0$ :

$$W_e = \frac{W_{e,max}}{p_{i,aq}} (p_{i,aq} - p_{res}) \left( 1 - e^{-\frac{J p_{i,aq}}{W_{e,max}} t} \right) \quad (2.8)$$

Como a suposição de pressão constante na interface entre o aquífero e o reservatório é muito forte, Fetkovich propõe aplicar 2.8 de maneira incremental. Para um tempo  $t_j$  com  $j = 1, 2, \dots, n$ :

$$(\Delta W_e)_j = \frac{W_{e,max}}{p_{i,aq}} ((\bar{p}_{i,aq})_{j-1} - (\bar{p}_{res})_j) \left( 1 - e^{-\frac{J p_{i,aq}}{W_{e,max}} \Delta t_j} \right) \quad (2.9)$$

onde

$$(\bar{p}_{res})_j = \frac{(p_{res})_j + (p_{res})_{j-1}}{2} \quad (2.10)$$

$$(\bar{p}_{i,aq})_j = p_{i,aq} \left( 1 - \frac{(\Delta W_e)_j}{W_{e,max}} \right) \quad (2.11)$$

Com  $(p_{res})_0 = p_{i,res}$  e  $(\bar{p}_{i,aq})_0 = p_{i,aq}$ .

Ao final do procedimento, o volume de água que passa do aquífero ao reservatório é a soma dos incrementos:

$$W_e = \sum_{j=1}^n (\Delta W_e)_j \quad (2.12)$$

O termo da pressão no aquífero é calculado no passo de tempo anterior. O único termo que não pode ser calculado diretamente é  $(p_{res})_j$ . Como este termo é normalmente função, entre outros, do influxo de água ( $\sum_j (\Delta W_e)_j$ ), a cada passo de tempo é preciso resolver um problema do tipo  $y = g(y)$ .

## 2.2. Método de Euler

O objetivo do método de Euler é encontrar uma aproximação da solução de um problema de valor inicial bem posto (PVI):

$$\frac{dy}{dt} = f(t, y), \quad a \leq t \leq b, \quad y(a) = \alpha \quad (2.13)$$

É possível usar o Teorema de Taylor para estimar o valor de  $y(t_{j+1})$  a partir do valor de  $y(t_j)$ . Assumindo  $y(t_{j+1}) - y(t_j) = h$  e com  $\xi_j \in (t_j, t_{j+1})$ :

$$y(t_{j+1}) = y(t_j) + h \left. \frac{dy}{dt} \right|_{t_j} + \frac{h^2}{2} \left. \frac{d^2 y}{dt^2} \right|_{\xi_j} \quad (2.14)$$

Substituindo 2.13 em 2.14 e ignorando o resto, chega-se ao método de Euler. Fazendo  $w_j \approx y(t_j)$ , aplicando a discretização em  $t$  em  $n$  passos e a condição inicial:

$$\begin{aligned} h &= \frac{b-a}{n} \\ t_j &= a + hj \\ w_0 &= \alpha \\ w_j &= w_{j-1} + hf(t_{j-1}, w_{j-1}) \end{aligned} \quad (2.15)$$

É possível mostrar que o limitante do erro do método de Euler é dado por<sup>1</sup>:

$$|y(t_j) - w_j| \leq \frac{hM}{2L} \left[ e^{L(t_j - t_0)} - 1 \right] \quad (2.16)$$

onde

$$\left| \frac{\partial f}{\partial y}(t, y(t)) \right| \leq L \quad (2.17)$$

$$\begin{aligned} \left| \frac{d^2 y}{dt^2}(t) \right| &= \left| \frac{df}{dt}(t, y(t)) \right| = \\ \left| \frac{\partial f}{\partial t}(t, y(t)) + \frac{\partial f}{\partial y}(t, y(t)) f(t, y(t)) \right| &\leq M \end{aligned} \quad (2.18)$$

A estimativa do limitante do erro pode ser feita mesmo sem conhecer explicitamente a função  $y(t)$ . Neste caso os valores de  $L$  e  $M$  serão estimados com os valores aproximados  $w_j$ .

## 2.3. Modelo de Fetkovich como PVI

Uma forma de resolver o modelo proposto por Fetkovich sem ter que assumir uma pressão constante na interface entre o aquífero e o reservatório é transformá-lo em um problema de valor inicial.

---

<sup>1</sup>Prova completa em [7]

Vamos assumir um modelo simples de reservatório em que é alcançado equilíbrio hidrostático *instantaneamente*<sup>2</sup>. Por simplicidade é assumido que  $Bw = 1$ .

$$NBo + W_{res} = Pv \quad (2.19)$$

Serão assumidas correlações lineares do fator volume de formação do óleo com a pressão, e do volume poroso com a pressão.

$$NBo_b[1 + c_{o,b}(p_b - p_{res})] + W_{res} = Pv_i[1 - c_r(p_{i,res} - p_{res})] \quad (2.20)$$

Isolando  $p_{res}$  em 2.20:

$$p_{res} = \frac{NBo_b(1 + c_{o,b}p_b) + W_{res} - Pv_i(1 - c_r p_{i,res})}{NBo_b c_{o,b} + Pv_i c_r} \quad (2.21)$$

Derivando 2.21 no tempo:

$$\begin{aligned} \frac{dp_{res}}{dt} = & \frac{\frac{dN}{dt}Bo_b(1 + c_{o,b}p_b) + \frac{dW_{res}}{dt}}{NBo_b c_{o,b} + Pv_i c_r} + \\ & - p_{res} \frac{\frac{dN}{dt}Bo_b c_{o,b}}{NBo_b c_{o,b} + Pv_i c_r} \end{aligned} \quad (2.22)$$

Substituindo 2.22 em 2.6, e assumindo  $\frac{dN}{dt} = f(t, p_{res})$ , encontra-se um PVI da forma:

$$\frac{d^2 y}{dt^2} = -\alpha \frac{dy}{dt} - f(t, y), \quad a \leq t \leq b, \quad y(a) = \alpha \quad (2.23)$$

Para aplicar o método de Euler será preciso focar no caso específico em que não há produção de óleo ( $\frac{dN}{dt} = 0$ ):

$$\frac{d^2 W_e}{dt^2} = -J \left( \frac{p_{i,aq}}{W_{e,max}} + \frac{1}{NBo_b c_{o,b} + Pv_i c_r} \right) \frac{dW_e}{dt} \quad (2.24)$$

Como a condição inicial de  $p_{aq}(t = 0) = p_{i,aq}$  se mantém, a EDO 2.24 tem solução analítica análoga a 2.7:

$$\frac{dW_e}{dt} = J(p_{i,aq} - p_{res})e^{-J \left( \frac{p_{i,aq}}{W_{e,max}} + \frac{1}{NBo_b c_{o,b} + Pv_i c_r} \right) t} \quad (2.25)$$

<sup>2</sup>Em um instante qualquer todo o reservatório estará na mesma pressão  $p_{res}$ .

### 3. Implementação

Todo o código utilizado nesta análise foi desenvolvido em C++. Foram criados objetos próprios para cada elemento integrante do problema proposto:

**IVP** Classe que define um problema de valor inicial na forma 2.13.

- O usuário precisa especificar  $f(t, y)$ ,  $a$  (tempo inicial),  $b$  (tempo final),  $n$  (número de passos de tempo) e  $y(a)$ .
- Opcionalmente o usuário pode prover  $\frac{\partial f}{\partial y}$  e  $\frac{df}{dt}$  para que seja estimado o limitante do erro de aproximação. O usuário também pode prover diretamente os valores de  $L$  e  $M$ .
- O usuário também pode especificar a função exata, para calcular o erro de aproximação do método de Euler.
- Além do método de Euler *tradicional*, foi implementada uma rotina que tenta melhorar as respostas utilizando o método de Aitken. Nesta última opção o método de Euler é feito com 3 diferentes passos de tempo:  $n$ ,  $2n$  e  $3n$ . Nos passos de tempo comuns entre as 3 resoluções é aplicado o método de Aitken<sup>3</sup>:

$$\hat{w}_j = w_j^{(n)} - \frac{\left(w_{2j}^{(2n)} - w_j^{(n)}\right)^2}{w_{3j}^{(3n)} - 2w_{2j}^{(2n)} + w_j^{(n)}} \quad (3.1)$$

**Spline** Classe que constrói uma função interpoladora do tipo Spline natural a um conjunto de pontos  $(x, y)$  [8].

- Os valores das funções que definem  $L$  e  $M$  dependem de  $y(t)$  (que é aproximado por  $w$ ). Estas funções só podem ser avaliadas nos  $n$  valores de  $w_i$  que são calculados pelo método de Euler.
- Esta classe foi incluída no código para incrementar a busca pelos valores de  $L$  e  $M$ . São criadas splines a partir dos valores calculados de cada função, de modo que um número maior de pontos podem ser avaliados.

**Fetkovich** Classe resolve o comportamento de um aquífero como proposto por Fetkovich.

- O usuário precisa definir as características do aquífero e prover uma função que retorne a pressão na interface do aquífero com o reservatório. Esta função depende do tempo e do influxo acumulado de água do aquífero para o reservatório ( $W_e$ ).

<sup>3</sup> $w_j^{(n)}$  é a aproximação de  $y(t_j)$  de uma aplicação do método de Euler com  $n$  passos.

Para facilitar a estimativa de parâmetros de aquífero e reservatório foram implementadas algumas correlações clássicas:

- Newman [9]: Compressibilidade de rocha.
- Standing [10]: Pressão de bolha, compressibilidade do óleo na pressão de bolha e fator volume de formação do óleo na pressão de bolha.

#### 4. Resultados

Antes de aplicar o método de Euler ao problema proposto, foram avaliados alguns problemas de valor inicial com resposta exata conhecida:

1.  $y' = y - t^2 + 1$ ,  $0 \leq t \leq 2$ ,  $y(0) = 0.5$
2.  $y' = -2y + 3e^t$ ,  $0 \leq t \leq 2$ ,  $y(0) = 3.0$
3.  $y' = 4\cos(t) - 8\sin(t) + 2y$ ,  $0 \leq t \leq 2$ ,  $y(0) = 3.0$

Os resultados exatos de cada problema são, respectivamente:

1.  $y = (t + 1)^2 - 0.5e^t$
2.  $y = 2e^{-2t} + e^t$
3.  $y = 4\sin(t) + 3e^{2t}$

Todos os problemas foram resolvidos com 10 passos de tempo. As figuras 1, 2 e 3 mostram que o erro do método de Euler pode ser significativo. As figuras também mostram que o uso do método de Aitken teve um impacto positivo na qualidade das respostas.

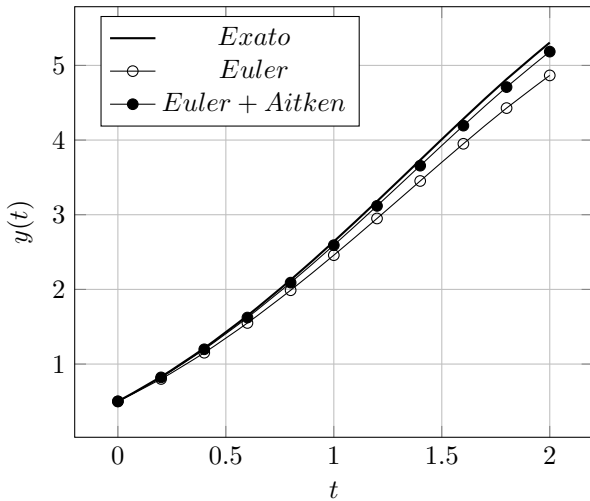


Figura 1: Aproximação com o método de Euler do PVI número 1.

A figura 4 mostra a diferença entre o erro real das aproximações feitas com o método de Euler e o limitante do erro. Observa-se que o limitante do erro é *significativamente* maior que o erro real. O limitante se mostrou uma pobre estimativa do erro.

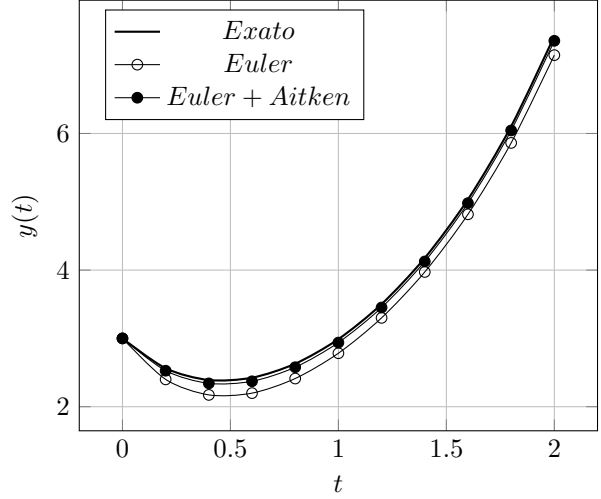


Figura 2: Aproximação com o método de Euler do PVI número 2.

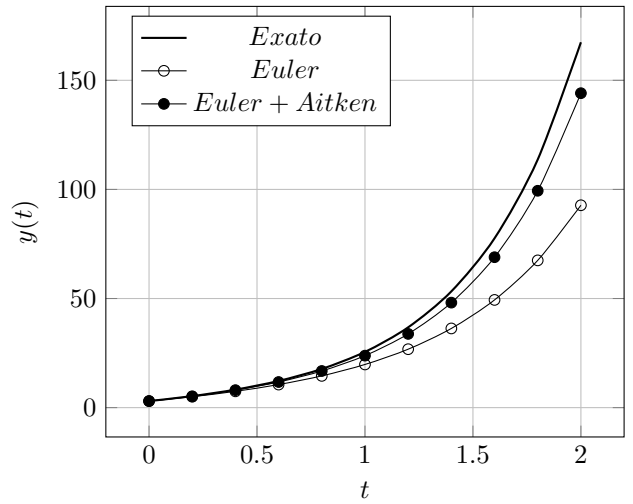


Figura 3: Aproximação com o método de Euler do PVI número 3.

Em função dos resultados dos testes iniciais o problema proposto foi resolvido utilizando o método de Euler com o método de Aitken. Foram utilizados os seguintes parâmetros de reservatório junto com as correlações listadas final da seção 3:

- Fluidos
  - $API = 25^\circ api$
  - $d_g = 0.6$
  - $RGO = 60 \text{ m}^3/\text{m}^3$
  - $T_{res} = 60^\circ C$
  - $Bw = 1$
- Parâmetros de reservatório
  - $N = 0.8 \cdot 10^6 \text{ m}^3$
  - $W_{i,res} = 0.2 \cdot 10^6 \text{ m}^3$
  - $p_{i,res} = 230 \text{ bar}$

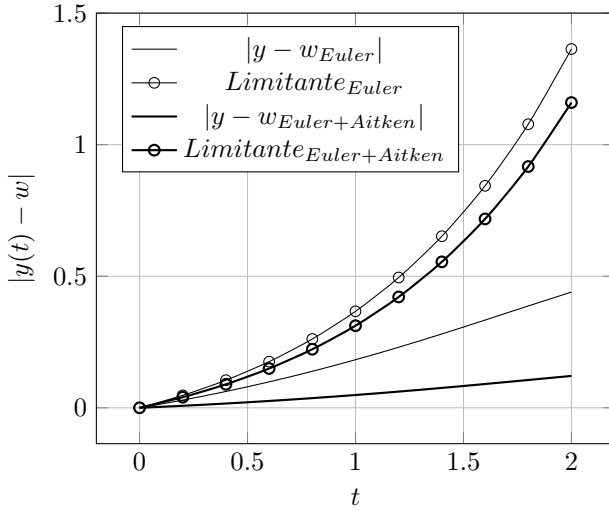


Figura 4: Estimativa do erro de aproximação com o método de Euler para o PVI número 1.

- $\phi = 20\%$  (para cálculo da compressibilidade de rocha)
- Parâmetros do aquífero
  - $J = 20 \text{ m}^3/\text{d}/\text{bar}$
  - $\phi = 3\%$  (para cálculo da compressibilidade de rocha)
  - $W_{i,aq} = 1.0 \cdot 10^6 \text{ m}^3$
  - $p_{i,aq} = 250 \text{ bar}$

Foi avaliado o comportamento do aquífero até 200 dias, em 10 passos de tempo. As figuras 5 e 6 mostram que o melhor resultado foi com o método de Fetkovich. O método de Euler teve um resultado muito ruim. O procedimento do Método de Euler associado ao método de Aitken teve resultados comparáveis ao método de Fetkovich até metade do período avaliado, quando começou a divergir do resultado exato e depois estimou valores de vazão negativos.

O código foi implementado em C++ e em um único arquivo. Pode ser encontrado em <https://github.com/TiagoCAAmorim/numerical-methods>.

## 5. Conclusão

Os resultados indicaram que o método de Euler fornece resultados pobres e com pouco controle da qualidade das respostas. Os limitantes dos erros se mostraram muito grandes e de pouca utilidade. Os erros do método de Euler se mostraram significativos para o número de passos utilizado. O método de Aitken se mostrou efetivo na melhora das respostas estimadas com o método de Euler.

Para um mesmo número de passos de tempo, os resultados do método de Fetkovich se mostraram muito melhores que os resultados do método de Euler. O método de

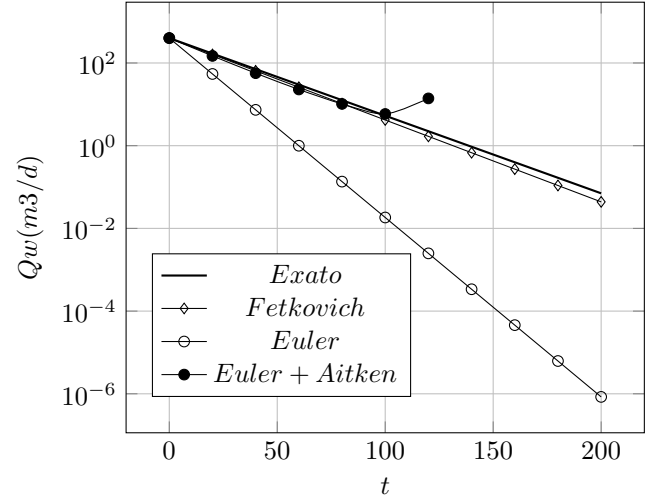


Figura 5: Aproximação com o método de Fetkovich e com o método de Euler de um aquífero conectado a um reservatório de óleo.

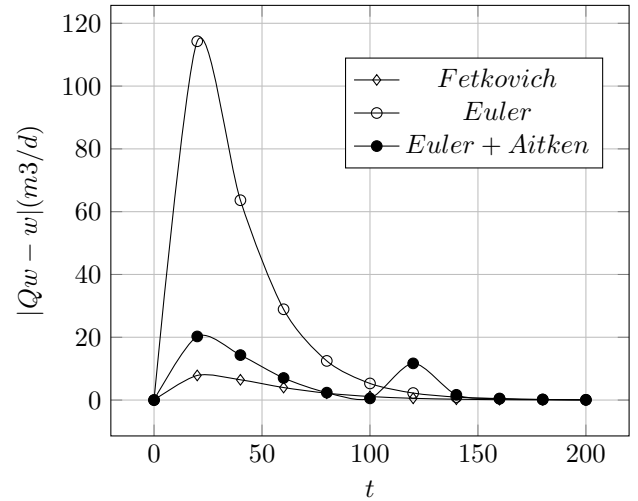


Figura 6: Erro das aproximações com o método de Fetkovich e com o método de Euler de um aquífero conectado a um reservatório de óleo.

Fetkovich tem a vantagem de utilizar relações constitutivas entre as variáveis do problema para melhorar as suas estimativas.

## Apêndice A. Lista de Variáveis

$B_o$ : Fator volume de formação do óleo no reservatório ( $\text{m}^3/\text{m}^3$ ).

$B_{o,b}$ : Fator volume de formação do óleo no reservatório na pressão de bolha ( $\text{m}^3/\text{m}^3$ ).

$B_w$ : Fator volume de formação da água no reservatório ( $\text{m}^3/\text{m}^3$ ).

$c_r$ : Compressibilidade do volume poroso ( $1/\text{bar}$ ).

$c_{o,b}$ : Compressibilidade do óleo na pressão de bolha ( $1/\text{bar}$ ).

$c_{aq}$ : Compressibilidade total do aquífero ( $1/\text{bar}$ ).

$J$ : Índice de produtividade do aquífero ( $m^3/d/\text{bar}$ ).

$L$ : Constante de Lipschitz.

$M$ : Limitante da derivada  $2^a$ .

$N$ : Volume de óleo no reservatório medido em condições padrão ( $m^3$ ).

$p_{aq}$ : Pressão média do aquífero ( $\text{bar}$ ).

$p_{i,aq}$ : Pressão inicial do aquífero ( $\text{bar}$ ).

$(\bar{p}_{i,aq})_j$ : Pressão média do aquífero no tempo  $t_j$  ( $\text{bar}$ ).

$p_b$ : Pressão de bolha do óleo ( $\text{bar}$ ).

$p_{res}$ : Pressão na interface entre o aquífero e o reservatório ( $\text{bar}$ ).

$p_{i,res}$ : Pressão inicial na interface entre o aquífero e o reservatório ( $\text{bar}$ ).

$(\bar{p}_{res})_j$ : Pressão média na interface entre o aquífero e o reservatório entre os tempos  $t_{j-1}$  e  $t_j$  ( $\text{bar}$ ).

$P_v$ : Volume poroso no reservatório ( $m^3$ ).

$P_{v_i}$ : Volume poroso no reservatório na pressão inicial ( $m^3$ ).

$Q_w$  ou  $\frac{dW_e}{dt}$ : Vazão de água do aquífero para o reservatório ( $m^3/d$ ).

$\Delta t_j$ : Diferença entre os tempos  $t_{j-1}$  e  $t_j$  ( $d$ ).

$W_e$ : Volume de água acumulado do aquífero para o reservatório ( $m^3$ ).

$W_{e,max}$ : Máximo influxo de água possível<sup>4</sup> do aquífero para o reservatório ( $m^3$ ).

$(\Delta W_e)_j$ : Influxo de água entre os tempos  $t_{j-1}$  e  $t_j$  ( $m^3$ ).

$W_{i,aq}$ : Volume inicial do aquífero ( $m^3$ ).

$W_{res}$ : Volume de água no reservatório ( $m^3$ ).

$W_{i,res}$ : Volume inicial de água no reservatório ( $m^3$ ).

## Referências

- [1] E. U. M. SCHLUMBERGER, Technical description, Schlumberger Ltd (2009) 519–538.
- [2] C. M. G. L. (CMG), Cmg imex user's manual, CMG Calgary, Canada, 2022.
- [3] A. J. Rosa, R. de Souza Carvalho, J. A. D. Xavier, Engenharia de reservatórios de petróleo, Interciência, 2006.
- [4] A. Van Everdingen, W. Hurst, The Application of the Laplace Transformation to Flow Problems in Reservoirs, Journal of Petroleum Technology 1 (12) (1949) 305–324. arXiv:https://onepetro.org/JPT/article-pdf/1/12/305/2239068/spe-949305-g.pdf, doi:10.2118/949305-G. URL https://doi.org/10.2118/949305-G
- [5] M. J. Fetkovich, A simplified approach to water influx calculations-finite aquifer systems, Journal of petroleum technology 23 (07) (1971) 814–828.
- [6] T. Ahmed, Chapter 10 - water influx, in: T. Ahmed (Ed.), Reservoir Engineering Handbook (Fifth Edition), fifth edition Edition, Gulf Professional Publishing, 2019, pp. 663–750. doi: https://doi.org/10.1016/B978-0-12-813649-2.00010-4. URL https://www.sciencedirect.com/science/article/pii/B9780128136492000104
- [7] R. L. Burden, J. D. Faires, A. M. Burden, Análise numérica, Cengage Learning, 2016.
- [8] T. C. A. Amorim, Avaliação do uso de splines para interpolar tabelas de fluxo vertical multifásico, Relatório número 4 da disciplina IM253: Métodos Numéricos para Fenômenos de Transporte (09 2023).
- [9] G. Newman, Pore-Volume Compressibility of Consolidated, Friable, and Unconsolidated Reservoir Rocks Under Hydrostatic Loading, Journal of Petroleum Technology 25 (02) (1973) 129–134. arXiv:https://onepetro.org/JPT/article-pdf/25/02/129/2672963/spe-3835-pa.pdf, doi:10.2118/3835-PA. URL https://doi.org/10.2118/3835-PA
- [10] M. B. Standing, Volumetric and phase behavior of oil field hydrocarbon systems, Society of petroleum engineers of AIME, 1952.

<sup>4</sup>Equivale ao influxo quando  $p_{aq} = 0$  em 2.2.